

K. ф.-м. н. A. C. ГАРКАВЕНКО

Германия, г. Штутгарт, Международный научно-производственный центр энергосберегающих технологий  
E-mail: garks@arcor.de

Дата поступления в редакцию  
17.02 2010 г.

Оппонент д. т. н. В. А. МОКРИЦКИЙ  
(ОНПУ, г. Одесса)

## ЭКСПЕРИМЕНТАЛЬНОЕ ДОКАЗАТЕЛЬСТВО ЭКСИТОННО-ПЛАЗМЕННОГО ФАЗОВОГО ПЕРЕХОДА МОТТА

*Представлены результаты экспериментального исследования предсказанного ранее теоретически экситонно-плазменного фазового перехода Мотта. Получено убедительное доказательство его реального существования.*

Известно, что инжектирование неравновесных носителей заряда изменяет форму линий в экситонном спектре полупроводниковых кристаллов [1]. Соответствующее изменение оптических констант полупроводника в экситонной области спектра под действием оптической или электронной накачки может быть использовано для внешней модуляции проходящего (отраженного) через кристалл света [2, 3]. Английский физик Невилл Мотт теоретически показал, что при высоких уровнях возбуждения существует такая критическая концентрация неравновесных носителей заряда, при которой экситонное состояние вообще не может существовать, т. к. инжектированные в кристалл носители за счет статического и динамического плазменного экранирования изменяют кулоновский потенциал взаимодействия связанных в экситоны электронов и дырок [4, 5]. При этом энергия связи экситонов уменьшается, а радиус связанныго состояния увеличивается. В конечном счете экситоны распадаются на свободные электроны и дырки. Это явление перехода от экситонного газа к плазме электронов и дырок получило в литературе название *экситонно-плазменного фазового перехода Мотта*. Согласно [4, 6] критерием Мотта служит неравенство

$$r/a_{ex} \leq 2,5,$$

где  $r$  — расстояние между частицами,  $r = (3/4\pi N_{kp})^{1/3}$ ;  
 $a_{ex}$  — радиус экситона;  
 $N_{kp}$  — критическая концентрация носителей. В кристаллах CdS значение  $N_{kp} \approx 3 \cdot 10^{17} \text{ см}^{-3}$  [7].

В некоторых работах вводится диапазон значений этого критерия 2,5—3,7, что дает диапазон  $N_{kp}$  от  $3 \cdot 10^{17}$  до  $2 \cdot 10^{18} \text{ см}^{-3}$  [6, 7]. Однако прямого экспериментального доказательства этого эффекта не было. Эффект уширения экситонных линий в спектре люминесценции кристаллов CdS при оптической накачке исследовался в [1, 2]. Факт исчезновения экситонных уровней наблюдался экспериментально в кристаллах CdS для уровней с показателем преломле-

ния  $n > 1$  [1] и с  $n = 1$  [2], но он не может быть связан с переходом Мотта, поскольку при этом скачкообразного исчезновения экситонных уровней не наблюдалось. В данной работе приведены экспериментальные результаты, подтверждающие существование фазового перехода Мотта.

Достигнутый в настоящее время уровень технологии позволяет выращивать чистые оптически однородные монокристаллы CdS с экситонными механизмами излучательных переходов. При оптическом и электронном возбуждении при температуре 77 К в спектре таких кристаллов преобладают линии излучения свободных экситонов. Такие образцы интенсивно излучают, поскольку внутренний квантовый выход спонтанного излучения близок к 1, а время жизни, пропорциональное ему, мало ( $\tau \approx 10^{-9}—10^{-10} \text{ с}$ ). Это обеспечивает высокую прозрачность кристалла и скорость модуляции излучения. Для проведения исследований использовались радиационно-модифицированные кристаллы CdS [8]. С помощью методики, описанной в [3, 9], отбирались наиболее чистые и оптически однородные образцы, в которых мало рассеяние спонтанного и когерентного излучения на оптических неоднородностях (флуктуации показателя преломления  $\Delta n_0 \approx 10^{-5}—10^{-6}$ , где  $n_0$  — показатель преломления невозбужденного кристалла).

Для отбора кристаллов CdS с интенсивной люминесценцией А-экситона использовался стандартный метод синхронного детектирования. Исследовались монокристаллические пленки нелегированного CdS, выращенные из газовой фазы методом сублимации, с концентрацией нейтральных доноров и акцепторов  $N \leq 10^{13}—10^{14} \text{ см}^{-3}$ , представляющие собой пластинчатые образцы с естественными зеркальными гранями размерами  $1 \times 1 \text{ см}$  и толщиной 3—4 мкм. Толщина пленок CdS предварительно измерялась с помощью интерференционного микроскопа МИИ-16. Спектры фотolumинесценции (ФЛ) исследуемых кристаллов при  $T=80 \text{ К}$  состояли из линии свободного А-экситона с максимумом интенсивности  $\hbar\omega_{max} = 2,544 \text{ эВ}$  (при  $\lambda = 487,3 \text{ нм}$ ) и двух хорошо выраженных фононных повторений — первого А-ЛО  $\hbar\omega_{max} = 2,481 \text{ эВ}$  (при  $\lambda = 495,0 \text{ нм}$ ) и второго А-2ЛО  $\hbar\omega_{max} = 2,472 \text{ эВ}$  (при  $\lambda = 501,5 \text{ нм}$ ), с характерной формой полосы излучения (рис. 1). Параметры образцов, а также измеренное на этих образцах CdS время жизни А-экситона приведено в таблице. Соответствующий метод измерения описан в [3, 9].

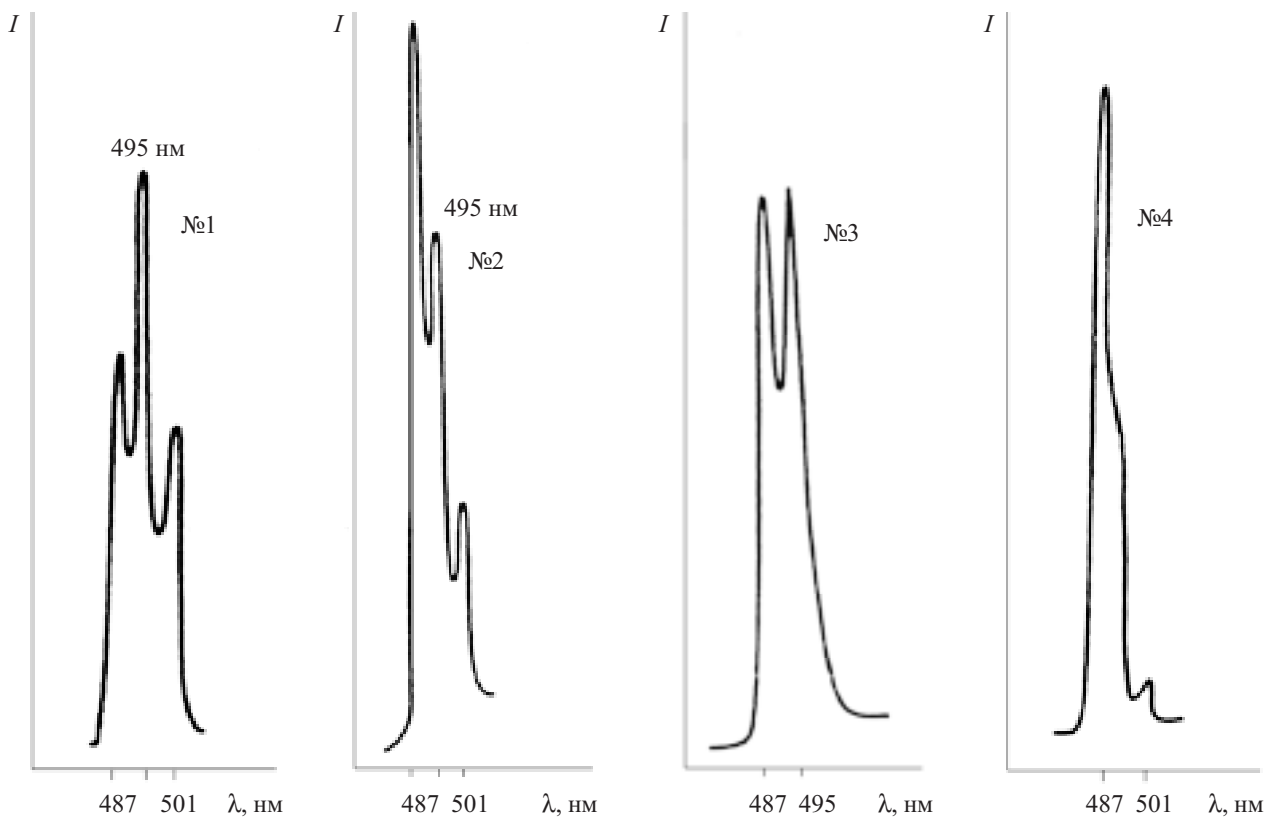


Рис. 1. Спектры экситонной ФЛ чистых оптически однородных образцов №1—4 монокристаллов CdS при 80 К (параметры образцов — в таблице)

*Параметры и спектры ФЛ радиационно-модифицированных оптически однородных образцов CdS при T=80 K*

№ образца CdS	Концентрация носителей $N$ , $\text{см}^{-3}$	Время жизни A-экситона $\tau_{ex}$ , с	Флуктуации показателя преломления кристалла $\Delta n$	Спектры ФЛ	
				$\lambda$ , нм	$I/I_{\text{осн}}$
1	$1,5 \cdot 10^{13}$	$3 \cdot 10^{-9}$	$10^{-6}$	487 495 501	0,5 0,8 0,3
2	$3,1 \cdot 10^{14}$	$5 \cdot 10^{-9}$	$10^{-5}$	487 495 501	1,0 0,7 0,3
3	$3,3 \cdot 10^{14}$	$5,2 \cdot 10^{-9}$	$10^{-5}$	487 495	0,5 0,6
4	$1,2 \cdot 10^{13}$	$2 \cdot 10^{-9}$	$10^{-6}$	487 501	1,0 0,1
5	$2,5 \cdot 10^{14}$	$4,5 \cdot 10^{-9}$	$10^{-5}$	487 495 501	1,0 0,6 0,2

Для экспериментального доказательства экситонно-плазменного фазового перехода Мотта были исследованы зависимости времени жизни  $\tau$  и спектров спонтанного излучения, возникающего при высоких уровнях возбуждения кристалла CdS электронным пучком, от концентрации неравновесных носителей  $\Delta N$  [10]. Известно, что  $\Delta N$  определяется формулой [11]

$$\Delta N = \frac{\tau j}{3eE_g} \left( -\frac{dE}{dx} \right),$$

где  $e$  — заряд электрона;

$E_g$  — ширина запрещенной зоны;

$j$  — плотность тока накачки;  
 $(-dE/dx)$  — распределение ионизационных потерь энергии по глубине проникновения  $x$  электронов в кристалл.

Обычно значение  $\Delta N$  рассчитывают, аппроксимируя распределение  $(-dE/dx)$  функцией вида

$$A(E_0) \exp[-(x-a)^2/b^2],$$

где  $a$  и  $b$  — некоторые постоянные [11]. Автор использовал экспериментальный метод количественно-

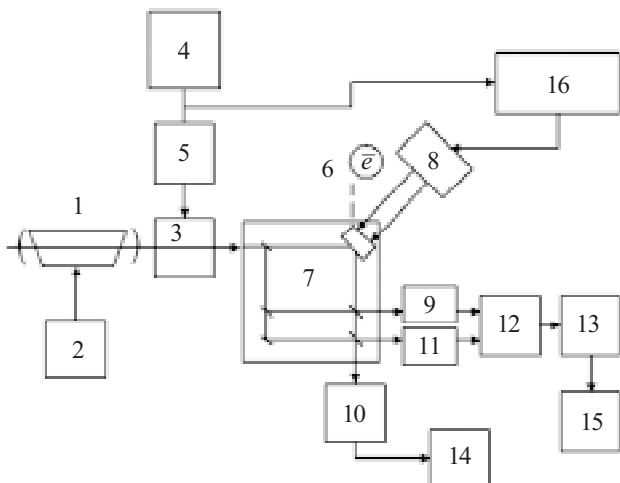


Рис. 2. Структурная схема установки:

1 — лазер на CO<sub>2</sub> (с  $\lambda=10,6$  мкм); 2 — блок питания лазера; 3 — электронно-оптический модулятор; 4 — задающий генератор; 5 — генератор коротких импульсов; 6 — исследуемый образец; 7 — многолучевой интерферометр; 8 — электронно-оптическая система; 9, 10, 11 — фотоприемные устройства; 12 — масштабно-временной преобразователь; 13 — импульсный фазометр; 14, 15 — компьютеры; 16 — генератор высоковольтных импульсов

го определения  $\Delta N$  и  $\tau$ , в основе которого лежат методы импульсной лазерной фазометрии [3, 9, 12]. На рис. 2 представлена структурная схема экспериментальной установки [10]. Исследуемый образец 6 находится на хладопроводе криостата при температуре 80 К. Электронно-оптическая система 8 генерирует быстрые электроны  $\bar{e}$  с энергией  $E_0=100—200$  кэВ, от которой зависит глубина проникновения  $x$ , и плотностью тока  $j=20—300$  А/см<sup>2</sup> для возбуждения полупроводникового кристалла. Длительность импульса накачки составляла порядка 10<sup>-10</sup> с, а частота повторения импульсов  $\Omega\approx60$  МГц. Остальная часть установки представляет собой оптический импульсный цифровой фазометр [12]. В результате взаимодействия зондирующего излучения CO<sub>2</sub>-лазера 1 с частотой  $\omega$ , ослабляемого набором калибранных светофильтров, с неравновесными носителями заряда, созданными при возбуждении полупроводникового кристалла 6 электронным пучком ( $\bar{e}$ ), происходит сдвиг фазы излучения  $\Delta\phi$ , связанный с изменением показателя преломления кристалла  $\Delta n$ :

$$\Delta\phi = \frac{\omega x}{c} \Delta n.$$

В свою очередь,

$$\Delta n = \frac{2\pi e^2 \Delta N}{n_0 m^* \omega^2},$$

где  $n_0$  — показатель преломления невозбужденного кристалла;  $m^*$  — эффективная масса электрона в кристалле.

В процессе эксперимента  $\Delta n$  изменялось от 0,013 до 1,1, а  $\Delta N$  соответственно от 1,2·10<sup>17</sup> до 1·10<sup>19</sup> см<sup>-3</sup>.

Измерение  $\tau$  в этой же установке сводилось к определению времени задержки отраженного от поверхности образца ИК лазерного излучения по отно-

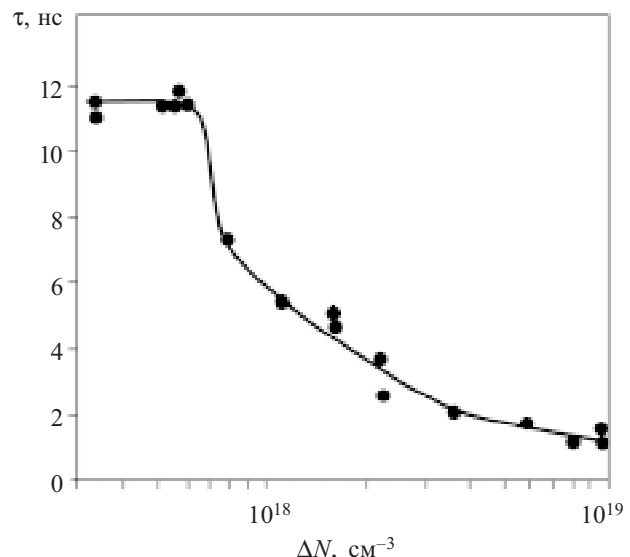


Рис. 3. Зависимость времени жизни экситона  $\tau$  от концентрации неравновесных носителей  $\Delta N$  в особо чистых оптически однородных монокристаллах CdS

шению к возбуждающему электронному импульсу, т. е., по сути, к измерению фазового сдвига  $\Delta\phi$ , и определялось формулой [3, 9]

$$\tau = (1/\Omega) \operatorname{tg}\Delta\phi.$$

Измеренные значения  $\tau$  находились в диапазоне (11,5—1,2)·10<sup>-9</sup> с.

Результаты измерений представлены на рис. 3, где показана зависимость времени жизни экситона  $\tau$  от концентрации неравновесных носителей  $\Delta N$  (уровня накачки в диапазоне 10<sup>17</sup>—10<sup>19</sup> см<sup>-3</sup>) в кристаллах CdS. В области низкого уровня накачки значение  $\tau$  остается практически постоянным ( $\tau=11—12$  нс) вплоть до значения  $\Delta N=7 \cdot 10^{17}$  см<sup>-3</sup>, что характеризует процесс излучательной аннигиляции свободных экситонов. При достижении значения концентрации неравновесных носителей  $\Delta N=7 \cdot 10^{17}$  см<sup>-3</sup> происходит резкий скачок, что характерно для фазового перехода, и  $\tau$  уменьшается практически в 1,5 раза, а затем, начиная со значения концентрации  $8 \cdot 10^{17}$  и до  $1 \cdot 10^{19}$  см<sup>-3</sup> монотонно падает с ростом  $\Delta N$ .

Параллельно проводились измерения спектров спонтанного излучения в зависимости от уровня возбуждения ( $\Delta N$ ). Видимое излучение возбужденного образца с помощью телескопической системы (не показанной на рис. 2) направлялось на вход спектрально-вычислительного комплекса КСВУ-4. На рис. 4 представлены измеренные спектры. Здесь видно, что при уровне возбуждения  $\Delta N$  до  $7 \cdot 10^{17}$  см<sup>-3</sup> спектр представляет собой обычное излучение А-экситона голубого цвета с двумя фоновыми повторениями, а при  $\Delta N=8 \cdot 10^{17}$  см<sup>-3</sup> и более спектр сдвигается в зеленую область и имеет вид спонтанного излучения, характерного для переходов «зона—зона», что полностью коррелирует с результатами измерений времени жизни (рис. 3). Из рис. 3 и 4 видно, что излучение кристаллов CdS при высоких уровнях возбуждения при  $\Delta N > N_{kp}$  (начиная с  $\Delta N=8 \cdot 10^{17}$  см<sup>-3</sup>) воз-

## ЭЛЕКТРОННЫЕ СРЕДСТВА: ИССЛЕДОВАНИЯ, РАЗРАБОТКИ

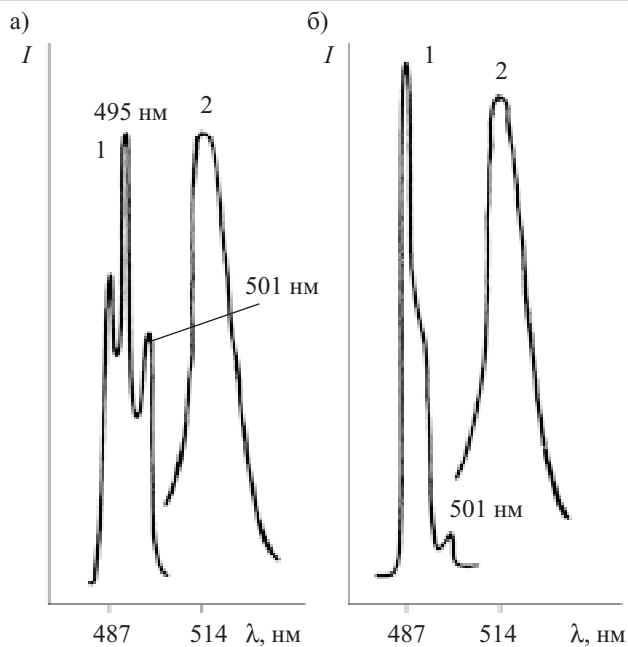


Рис. 4. Спектры экситонной катодолюминесценции (1) и рекомбинационного излучения электронно-дырочной плазмы (2) чистых оптически однородных образцов №1 (а) и 4 (б) монокристаллов CdS при высоких уровнях возбуждения:

1 — экситонное излучение (при  $\Delta N=6 \cdot 10^{17} \text{ см}^{-3}$ ; 2 — излучение за счет переходов «зона—зона» при  $\Delta N=8 \cdot 10^{17} \text{ см}^{-3}$

никает в результате рекомбинации электронно-дырочной плазмы высокой плотности, образовавшейся после распада экситонов, и соответствует переходам «зона—зона». Таким образом, эти экспериментальные данные свидетельствуют о наличии экситонно-плазменного фазового перехода Мотта.

Следует отметить, что до нашего исследования ни в одной из известных автору экспериментальных работ фазовый переход Мотта как резкий скачок, характеризующий переход от экситонного газа к электронно-дырочной плазме, зафиксирован не был.

\*\*\*

Таким образом, предложенная методика измерения сдвига фазы  $\Delta\phi(t)$  импульсного излучения, возбуждающего полупроводниковый кристалл, позволяет определять изменение показателя преломления  $\Delta n$ , а следовательно, и абсолютное значение нерав-

новесной концентрации носителей заряда  $\Delta N$  и времени жизни экситона  $\tau$  (при известном уровне возбуждения  $E_0, j$ ). Впервые было получено прямое экспериментальное доказательство теоретически предсказанного фазового перехода Мотта.

Значение критической концентрации неравновесных носителей заряда составило  $N_{kp}=7 \cdot 10^{17} \text{ см}^{-3}$ , и это хорошо согласуется с теоретическими оценками [4].

### ИСПОЛЬЗОВАННЫЕ ИСТОЧНИКИ

1. Лысенко В. Г., Ревенко В. И. Спектр экситона в газе неравновесных носителей высокой плотности в кристаллах CdS // Физика твердого тела.— 1978.— Т. 20, № 7.— С. 2144—2147.

2. Великович А. Л., Гаркавенко А. С., Голубев Г. П. и др. Модуляция излучения аргонового лазера за счет уширения экситонного уровня в кристалле CdS // Квантовая электроника.— 1985.— Т. 12, № 2.— С. 419—422.

3. Гаркавенко А. С., Зубарев В. В., Ленков С. В. и др. Новые лазерные методы, средства и технологии.— Одесса: Астропринт, 2002.

4. Mott N. F. Metal-insulator transitions // Contemp. Phys.— 1973.— N 14.— P. 401—413.

5. Гаркавенко А. С. Метод модуляции лазерного излучения / В кн.: Физические методы и средства контроля сред, материалов и изделий.— Киев—Львов, 1999.

6. Бродин С., Воловик Н. В., Резниченко В. Я., Страшникова М. И. Особенности рекомбинационного излучения смешанных кристаллов  $\text{CdS}_{1-x}\text{Se}_x$  при высоких уровнях возбуждения // Физика твердого тела.— 1981.— Т. 23, вып. 5.— С. 1318—1323.

7. Стерлигов В. А., Колбасов Г. Я., Борцов В. Б. и др. Исследование оптических свойств активной поверхности CdS методом неравновесной спектроскопии отражения // Физика и техника полупроводников.— 1979.— Т. 13.— С. 1206—1208.

8. Ленков С. В., Мокрицкий В. А., Гаркавенко А. С. и др. Радиационное управление свойствами материалов и изделий опто- и микроэлектроники.— Одесса: Друк, 2003.

9. Видолоб В. В., Гаркавенко А. С., Ленков С. В., Мокрицкий В. А. Лазеры в метрологии полупроводников.— Одесса: Атлант, 2006.

10. Гаркавенко А. С., Календин В. В. Метод исследования неравновесных процессов в полупроводниковых лазерах с электронным возбуждением / В кн.: Физические методы и средства контроля материалов и изделий.— Киев—Львов.— 1997.— С. 57—60.

11. Богданович О. В., Дарзек С. А., Елисеев П. Г. Полупроводниковые лазеры.— М.: Наука, 1976.

12. Гаркавенко А. С., Календин В. В., Педоренко А. В. Оптические цифровые импульсные фазометры / Тр. ВНИИФТРИ «Фазовые и поляризационные измерения лазерного излучения и их метрологическое обеспечение».— М.— 1981.— С. 41—44.

### НОВЫЕ КНИГИ



**Тимошенков С. П., Калугин В. В., Анчутин С. А., Морозова Е. С. Микроэлектромеханические системы. — М.: МИЭТ, 2009.— 52 с.**

Раскрыты общие вопросы микросистемной техники. Рассмотрены виды микроэлектромеханических систем, принцип их работы, особенности основных технологических процессов изготовления, материалы, а также области применения. Для студентов старших курсов технических вузов и специалистов, интересующихся проблемами микроэлектромеханических систем.